W

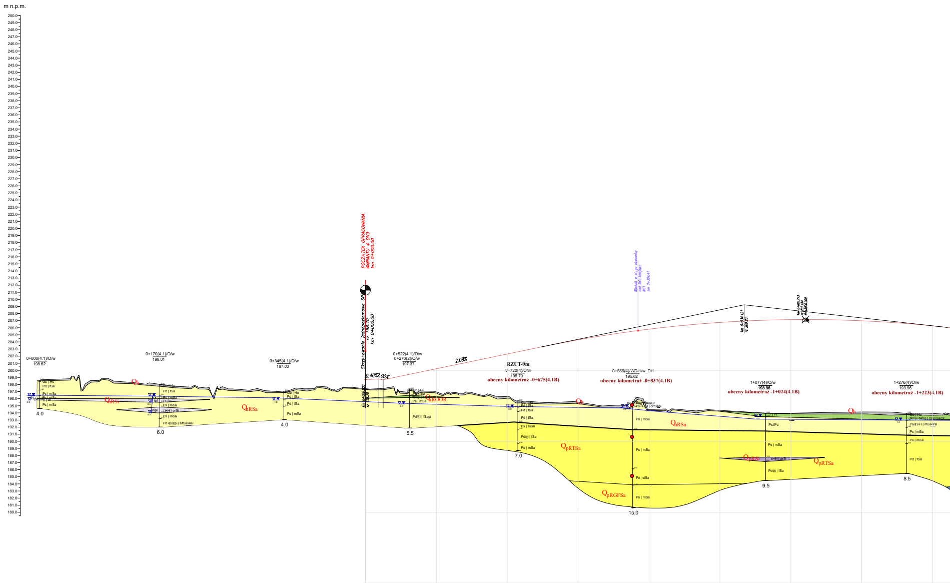
m n.p.m.
250.0 … 180.0
0+000(4.1)/O/w
198.62
0+170(4.1)/O/w
198.01
0+345(4.1)/O/w
197.03
0+522(4.1)/O/w
0+270(2)/O/w
197.37
RZUT-9m
0+728(4)/O/w
195.70
obecny kilometraż -0+675(4.1B)
0+565(4)/WD-1/w_DH
195.62
obecny kilometraż -0+837(4.1B)
1+077(4)/O/w
193.96
obecny kilometraż -1+024(4.1B)
1+276(4)/O/w
193.96
obecny kilometraż -1+223(4.1B)
POCZĄTEK OPRACOWANIA WARIANTU 4 DK9 km 0+000.00
Skrzyżowanie jednopoziomowe SR
rz 198.70
km 0+000.00
Wiadukt w ciągu obwodnicy nad linią kolejową WG1 km 0+384.41
km 0+534.121
rz 208.23
km 0+620.773
rz 207.154
R=18000.000
0.46%
2.00%
2.08%
Qh
QhRSi
QhRSa
QhROOR
QpRTSa
QpRGFSa
QpRSi
Gb | Hu
Pd | fSa
Ps | mSa
Pd(/I) | fSa
Pd(/I) | fSasi
Pd+(/I)/I/p | sifSasasi
I+H | orSi
Pd(/p) | fSa
Ps | siSa
Ps/Pd
Pd(/p) | fSa
Nmp+Nmg | clsiorsaOr
Ps/I/+H | mSasi
4.0
6.0
4.0
5.5
7.0
15.0
9.5
8.5

Rz. proj. - rz. terenu Nasyp/wykop	1.25 1.28 1.11 3.30 5.99 7.67 8.74 11.15 12.42 12.69 13.19 13.19 12.72 12.41 12.10
Warunki geomorfologiczne:	formy pochodzenia rzecznego- niekorzystne formy pochodzenia rzecznego- niekorzystne formy pochodzenia rzecznego- niekorzystne
Warunki hydrogeologiczne:	korzystne korzystne korzystne
Warunki geologiczne:	bardzo niekorzystne - grunty organiczne korzystne bardzo niekorzystne - grunty organiczne
Zagrożenia geologiczne:	korzystne korzystne średniokorzystne - obszar podmokły średniokorzystne - obszar poc
Ocena warunków geologiczno-inżynierskich	NIEKORZYSTNE ŚREDNIOKORZYSTNE NIEKORZYSTNE
KILOMETRAŻ	00.00 19.00 25.00 50 00 50 00 47.35 00 50 00 50 00.00 34.12 50 00 20.77 50 00 50 00 20.93

0+000.00

0+500.00

E NW

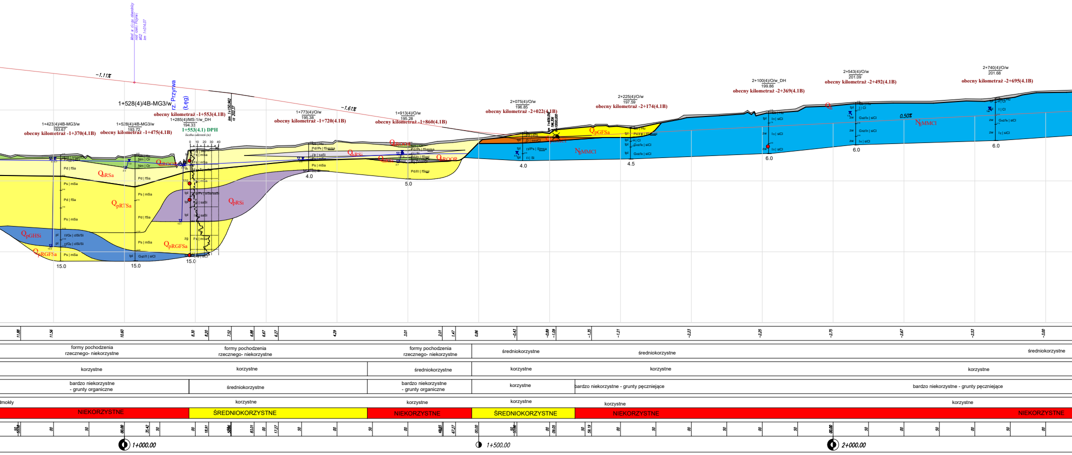
Most w ciągu drogi nad rzeką Przywa MG2 km 1+014.07
-1.11%
-1.61%
0.50%
rz. Przyrwa (Łęg)
1+528(4)/4B-MG3/w
1+423(4)/4B-MG3/w
193.67
obecny kilometraż -1+370(4.1B)
1+528(4)/4B-MG3/w
193.72
obecny kilometraż -1+475(4.1B)
obecny kilometraż -1+553(4.1B)
1+285(4)/MS-1/w_DH
194.33
1+553(4.1) DPH
liczba uderzeń (n)
km 1+150.962
rz 202.37
1+773(4)/O/w
195.38
obecny kilometraż -1+720(4.1B)
1+913(4)/O/w
195.28
obecny kilometraż -1+860(4.1B)
2+075(4)/O/w
196.85
obecny kilometraż -2+022(4.1B)
2+225(4)/O/w
197.59
obecny kilometraż -2+174(4.1B)
2+100(4)/O/w_DH
199.86
obecny kilometraż -2+369(4.1B)
2+543(4)/O/w
201.09
obecny kilometraż -2+492(4.1B)
2+740(4)/O/w
201.68
obecny kilometraż -2+695(4.1B)
QhRSa
QpRTSa
QpGHSi
QpRGFSa
QhROOR
QpRSi
QhRSi
QpGFSa
QpGMCl
NgMMCl
Qh
Pd | fSa
Ps | mSa
Nm | Or
Gpz/Il | siCl
Il/Gπ | clSi/Si
Pd/Pπ | fSasisa
Ip | saSi
Il | Si
Pd/Il | fSasi
Gb | Hu
G | sasiCl
Il/Ps | Simsa
Gπz/Iπ | siCl
Iπ | siCl
I | Cl
tpl
pl
zg
zw
15.0
4.0
5.0
4.5
6.0
11.88
11.56
10.60
8.30
8.20
7.52
6.88
6.67
6.27
4.29
3.01
2.01
1.47
0.86
-0.43
-0.89
-1.09
-1.35
-1.21
-2.23
-2.25
-2.75
-2.87
-2.53
-3.00
formy pochodzenia rzecznego- niekorzystne
formy pochodzenia rzecznego- niekorzystne
formy pochodzenia rzecznego- niekorzystne
średniokorzystne
średniokorzystne
średniokorzystne
korzystne
korzystne
średniokorzystne
korzystne
korzystne
korzystne
bardzo niekorzystne - grunty organiczne
średniokorzystne
bardzo niekorzystne - grunty organiczne
korzystne
bardzo niekorzystne - grunty pęczniejące
bardzo niekorzystne - grunty pęczniejące
mokły
korzystne
korzystne
korzystne
korzystne
korzystne
NIEKORZYSTNE
ŚREDNIOKORZYSTNE
NIEKORZYSTNE
ŚREDNIOKORZYSTNE
NIEKORZYSTNE
NIEKORZYSTNE
1+000.00
1+500.00
2+000.00

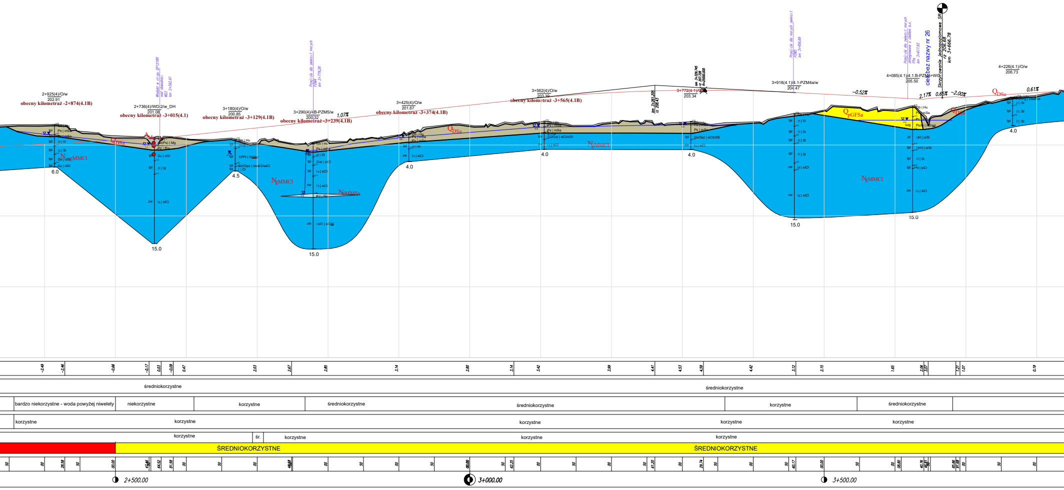
2+925(4)/O/w
202.91
obecny kilometraż -2+874(4.1B)
Wiadukt w ciągu DP1218R nad obwodnicą WD3 km 2+562.61
2+736(4)/WD-2/w_DH
201.08
obecny kilometraż -3+015(4.1)
3+180(4)/O/w
200.85
obecny kilometraż -3+129(4.1B)
Przejście dla zwierząt małych PZM4 km 2+779.26
3+290(4)/4B-PZM5/w
200.32
obecny kilometraż -3+239(4.1B)
1.07%
3+425(4)/O/w
201.67
obecny kilometraż -3+374(4.1B)
3+562(4)/O/w
203.39
obecny kilometraż -3+565(4.1B)
km 3+261.205
rz 208.43
km 3+329.745
rz 207.728
R=25000.000
3+772(4.1)/O/w
203.34
Przejście dla małych zwierząt PZM5 km 3+456.69
3+918(4.1)/4.1-PZM4a/w
204.47
-0.52%
Przejście dla zwierząt małych zintegrowane z ciekiem b.n. PSo km 3+617.93
4+085(4.1)/4.1.B-PZM5+WG
205.50
ciek bez nazwy nr 26
Skrzyżowanie jednopoziomowe SR
rz 206.68
km 3+666.78
2.17%
0.65%
-2.00%
0.61%
4+226(4.1)/O/w
206.73
Q DSa
Q pGFSa
A Mg
N gMMCl
N gMMSa
Ps | mSa
Π | Si
Gπ | clSi
B(Ps) | Mg
Pd | fSa
Gπ | clSi
Iπ | siCl
Gb | Hu
Π/Pπ | Si/siSa
Gz/Gpz | sisaCl/saCl
I | Cl
Gπz | siCl
Iπ | siCl
Pd | fSa
I(π) | siCl
Gπ/Gπz | siCl/clSi
ΠH | orSi
Π+H | orSi
Ps/Π | mSa/si
Pd/Pg | clsaSa
tpl
zw
pl
szg
6.0
15.0
4.5
15.0
4.0
4.0
4.0
15.0
15.0
4.0
-2.49
-2.46
-0.66
-0.17
0.03
-0.09
0.47
2.03
2.67
2.85
3.14
2.80
3.14
3.42
3.99
4.41
4.53
4.59
4.42
3.12
2.15
1.65
2.06
3.07
1.21
1.07
0.19
średniokorzystne
średniokorzystne
bardzo niekorzystne - woda powyżej niwelety
niekorzystne
korzystne
średniokorzystne
średniokorzystne
korzystne
średniokorzystne
korzystne
korzystne
korzystne
korzystne
korzystne
korzystne
korzystne
śr.
korzystne
korzystne
korzystne
ŚREDNIOKORZYSTNE
ŚREDNIOKORZYSTNE
2+500.00
3+000.00
3+500.00

SE | N

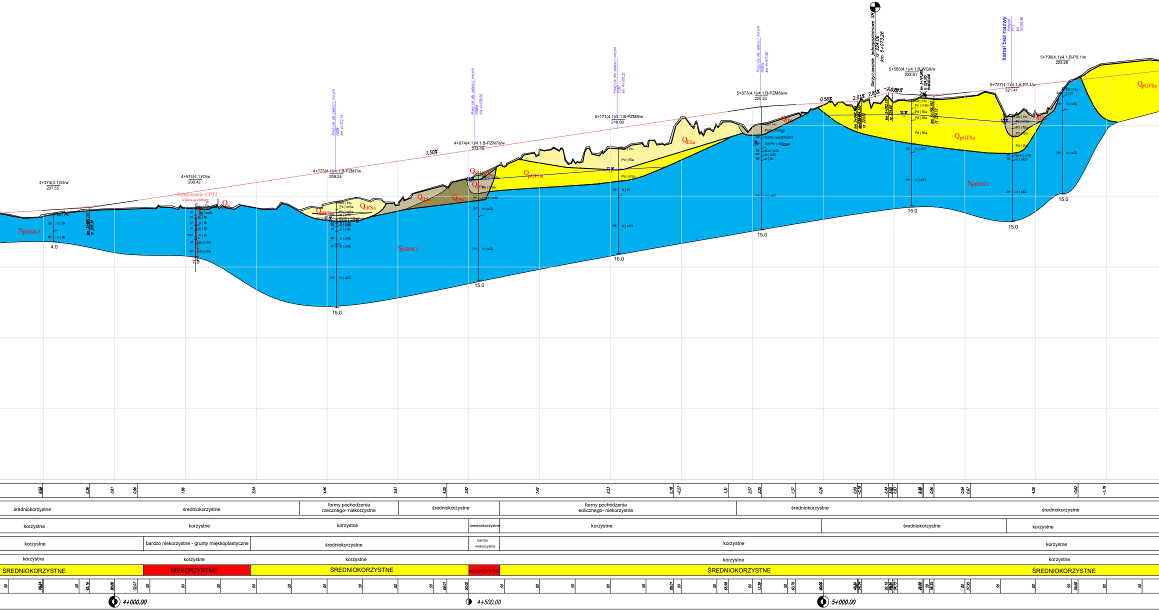

4+374(4.1)/O/w
207.55
4+574(4.1)/O/w
208.42
Sondowanie CPTU
4+773(4.1)/4.1.B-PZM7/w
209.24
4+974(4.1)/4.1.B-PZM7a/w
213.15
5+171(4.1)/4.1.B-PZM8/w
216.89
5+373(4.1)/4.1.B-PZM8a/w
220.24
5+585(4.1)/4.1.B-WG9/w
223.61
5+727(4.1)/4.1.A-P7.1/w
221.41
5+798(4.1)/4.1.B-P9.1/w
225.29
1.50%
0.56%
2.01%
2.85%
Skrzyżowanie jednopoziomowe SR
km 5+073.26
kanał bez nazwy
NEMMCl
QpGFSa
QESa
QfRSa
QDSi
4.0
7.0
15.0
średniokorzystne
formy pochodzenia rzecznego- niekorzystne
formy pochodzenia eolicznego- niekorzystne
korzystne
bardzo niekorzystne - grunty miękkoplastyczne
bardzo niekorzystne
ŚREDNIOKORZYSTNE
NIEKORZYSTNE
4+000.00
4+500.00
5+000.00

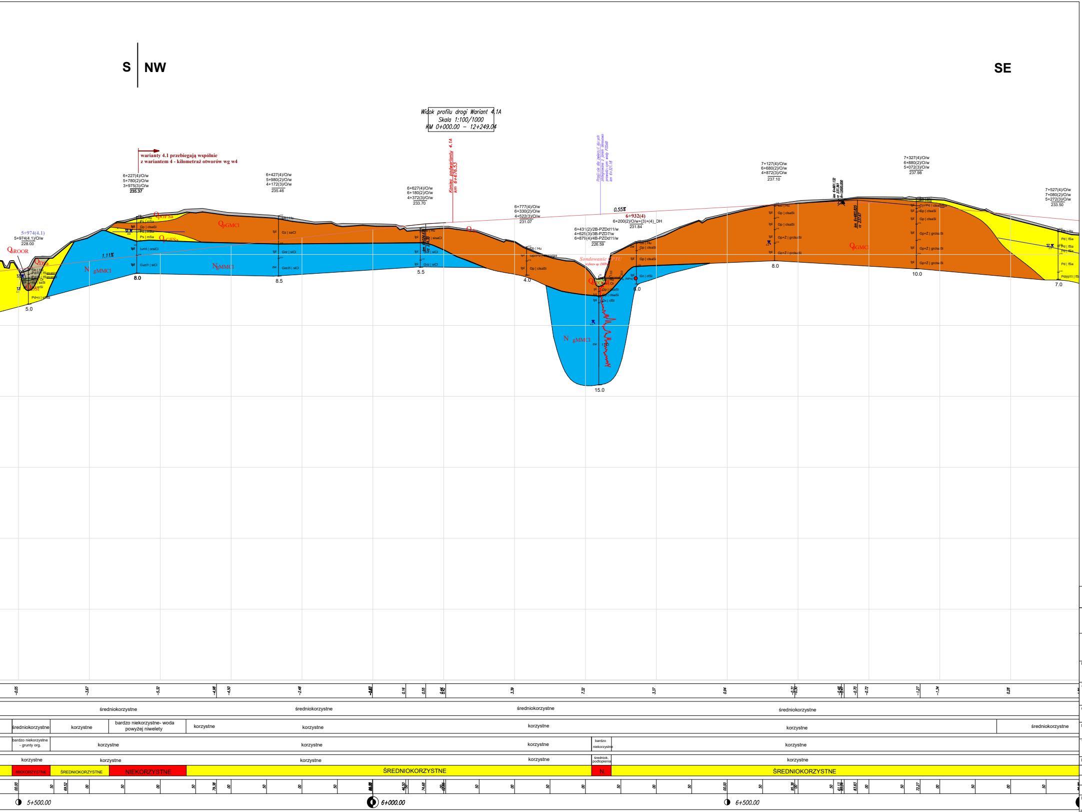
S
NW
SE
Widok profilu drogi Wariant 4.1A
Skala 1:100/1000
KM 0+000.00 – 12+249.04
warianty 4.1 przebiegają wspólnie
z wariantem 4 - kilometraż otworów wg w4
5+974(4.1)
5+974(4.1)/O/w
228.00
6+227(4)/O/w
5+780(2)/O/w
3+975(3)/O/w
235.37
6+427(4)/O/w
5+980(2)/O/w
4+172(3)/O/w
235.46
6+627(4)/O/w
6+180(2)/O/w
4+372(3)/O/w
233.70
Koniec podwariantu 4.1A
km 6+676.53
6+777(4)/O/w
6+330(2)/O/w
4+522(3)/O/w
231.07
Przejście dla zwierząt dużych zintegrowane z jarem okresowo prowadzącym wody PZDd8 km 6+321.18
0.55%
6+932(4)
6+200(2)/O/w+(3)+(4)_DH
231.84
6+431(2)/2B-PZDd11/w
4+625(3)/3B-PZD7/w
6+879(4)/4B-PZDd11/w
226.59
Sondowanie CPTU
wykres qc (MPa)
7+127(4)/O/w
6+680(2)/O/w
4+872(3)/O/w
237.10
km 6+461.132
rz 237.361
R=12000.000
km 6+683.625
rz 237.67
7+327(4)/O/w
6+880(2)/O/w
5+072(3)/O/w
237.98
7+527(4)/O/w
7+080(2)/O/w
5+272(3)/O/w
233.50
1.11%
QhROOR
QDSa
QDSi
QpGFSa
QpGMCl
QpGMCl
Qh
NgMMCl
NgMMCl
NgMMCl
QhROOR
Gb | Hu
Ps | mSa
Gp | clsaSi
Ps | mSa
Iz+H | orsiCl
Gzz//I | siCl
Gz | saCl
Gzz | siCl
Pd//G | fSasasiCl
Pd+Ił | siSa
Gp | sisaCl
Gz | siCl
Gp | clsaSi
Gp | clsaSi
Gz | clSi
Gp+Ż | grclsaSi
Gp//Pd | clsaSifSa
Pd | fSa
tpl
zw
pl
5.0
8.0
8.5
5.5
4.0
15.0
6.0
8.0
10.0
7.0
-0.05
-3.67
-5.32
-4.98
-4.50
-2.48
0.16
0.55
3.39
7.32
3.37
0.94
-0.31
-0.30
-0.70
-0.72
-1.27
-1.34
0.28
średniokorzystne
średniokorzystne
średniokorzystne
średniokorzystne
średniokorzystne
korzystne
bardzo niekorzystne- woda powyżej niwelety
korzystne
korzystne
korzystne
korzystne
średniokorzystne
bardzo niekorzystne - grunty org.
korzystne
korzystne
korzystne
bardzo niekorzystne
korzystne
korzystne
korzystne
korzystne
korzystne
średniok. podtopienia
korzystne
NIEKORZYSTNE
ŚREDNIOKORZYSTNE
NIEKORZYSTNE
ŚREDNIOKORZYSTNE
N.
ŚREDNIOKORZYSTNE
00.00
50
69.52
79.38
46.50
74.68
95.38
61.13
83.83
72.27
5+500.00
6+000.00
6+500.00

OBJAŚNIENIA:

2.08% - projektowana niweleta

- profile i etykiety projektowanych elementów konstrukcyjnych drogi

- powierzchnia terenu

7+527(4)/O/w.....
6+431(2)/2B-PZDd11/w.....
1+528(4)/4B-MG3/w...... - wykonane otwory badawcze

6+200(2)/O/w+(3)+(4)_DH
1+285(4)/MS-1/w_DH - archiwalne otwory hydrogeologiczne

7+527(4)/O/w - numer otworu
233.50 - rzędna terenu (m n.p.m.)

4.3 - zwierciadło swobodne (m p.p.t.)

5.9 4.4 - zwierciadło naporowe (m p.p.t.)

3.8 - sączenie (m p.p.t.)

Pd, Gp, Ił - symbol gruntu

fSa,mSa - symbol gruntu zgodny z ISO

- granice stratygraficzne

- granice genetyczne

● - miejsce pobrania próbki kategorii B

AMg
QpRTSa
QpGMCl
NgMMCl - symbol warstwy litologicznej

Wykresy sondowań
statycznego
dynamicznego

Sondowanie CPTU
wykres qc (MPa)
0 10.0 20.0 30.0

8+305(2) DPH
liczba uderzeń(N)
0 10 20 30 40 50

0 20 40 60

Inwestor:	Skarb Państwa - Generalny Dyrektor Dróg Krajowych i Autostrad - działający przez Generalną Dyrekcję Dróg Krajowych i Autostrad Oddział w Rzeszowie 35-959 Rzeszów ul. Legionów 20
Wykonawca: PROMOST CONSULTING	ul. Jana Niemierskiego 4 35-307 Rzeszów
Podwykonawca: GEO-MI	GEO-MI Pracowania Geologiczna Michał Małuszyński ul. Grażyny 16, lok. 14, 93-309 Łódź
Zadanie inwestycyjne:	Budowa obwodnicy Kolbuszowej w ciągu drogi krajowej DK9
Obiekt budowlany:	Droga krajowa nr 9 - obwodnica Kolbuszowej
Nazwa części opracowania:	STUDIUM GEOLOGICZNO-INŻYNIERSKIE
Tytuł rysunku:	**Syntetyczny przekrój geologiczny** **Wariant nr 4.1A - km 0+000 - 6+950**

Funkcja:	Imię i Nazwisko:	Branża/nr uprawnień:	Podpis:
Geolog:	mgr Tomasz Piwowarski	geologia VII-1521	
Geolog:	mgr inż. Anna Rzempowska	geologia VII-1822	A. Rzempowska

Nr umowy:	Skala:	Data:	Stadium:	Branża:	Nr rysunku:
2413.21.2020 z dn. 12.04.2021	1:2000/200	MARZEC 2023	STEŚ-R Etap I	G	10.W4_1A.1

NW

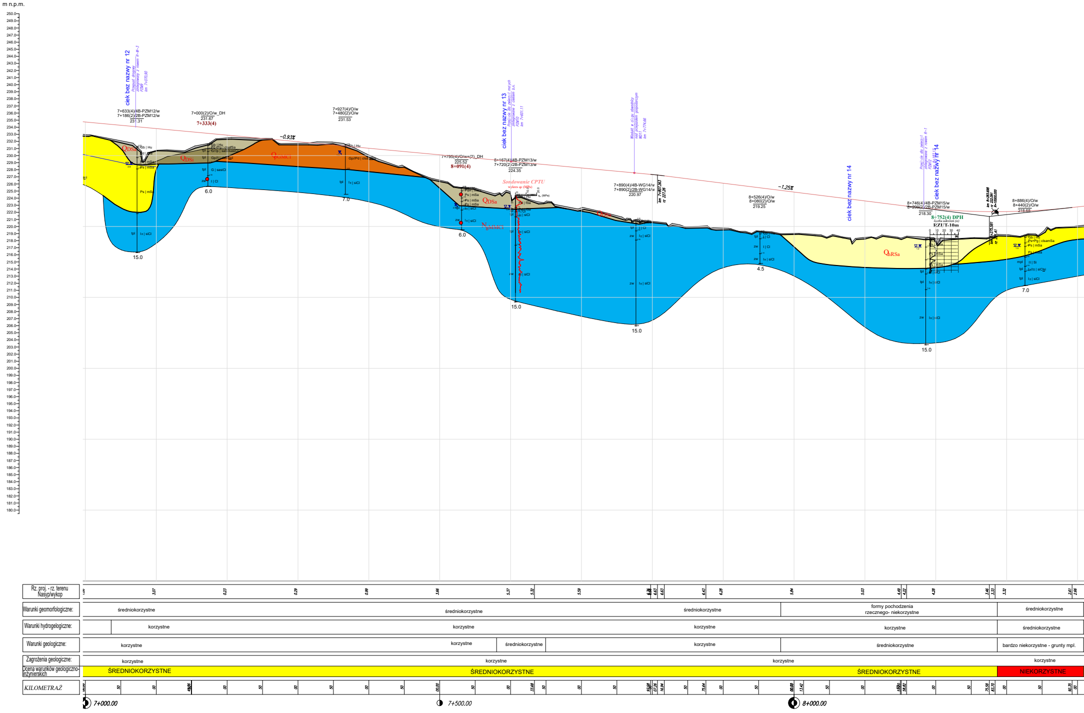
m n.p.m.
250.0
180.0
ciek bez nazwy nr 12
Przepust drogowy zintegrowany z rowem R-W-3 PZM9 km 7+070.90
7+633(4)/4B-PZM12/w
7+186(2)/2B-PZM12/w
231.31
7+000(2)/O/w_DH
231.67
7+333(4)
7+927(4)/O/w
7+480(2)/O/w
231.53
-0.93%
QDSa
QDSi
QGMCl
Gb | Hu
Pd | fSa
Ps | mSa
Pd+Pg | clsafSa
G/Tp | saSi/sasiCl
Gp/I | clsasiCl
G | sasiCl
I | Cl
Iπ | siCl
Gp/Pd | clsaSa
tpl
zw
15.0
6.0
7.0
ciek bez nazwy nr 13
Przejście dla zwierząt małych zintegrowane z ciekiem b.n. PZM10 km 7+801.11
Wiadukt w ciągu obwodnicy nad przejazdem gospodarczym WD11 km 7+774.66
7+795(4)/O/w+(2)_DH
225.52
8+091(4)
8+167(4)/4B-PZM13/w
7+720(2)/2B-PZM13/w
224.35
Sondowanie CPTU
wykres qc (MPa)
0
10.0
20.0
qc (MPa)
PsH | mSa
Pd | fSa
NgMMCl
7+890(4)/4B-WG14/w
7+890(2)/2B-WG14/w
220.97
km 7+807.263
rz 227.26
-1.25%
8+526(4)/O/w
8+080(2)/O/w
219.25
4.5
ciek bez nazwy nr 14
Przejście dla zwierząt zintegrowane z rowem R-1 PZM12 km 8+187.17
8+746(4)/4B-PZM15/w
8+290(2)/2B-PZM15/w
218.30
8+752(4) DPH
liczba uderzeń (n)
RZUT-10m
0
10
20
30
40
QhRSa
km 8+283.698
rz 222.091
R=10000.000
km 8+275.581
8+886(4)/O/w
8+440(2)/O/w
218.68
Ps+Pg | clsamSa
mpl
Il | Si
Iπ/Π | siCl/si
Rz. proj. - rz. terenu Nasyp/wykop
3.07
0.23
0.29
0.99
3.66
5.37
5.32
5.59
6.63
6.63
6.43
6.28
5.84
5.03
4.49
4.22
4.28
3.46
3.33
3.32
2.61
2.66
Warunki geomorfologiczne:
średniokorzystne
średniokorzystne
średniokorzystne
formy pochodzenia rzecznego- niekorzystne
średniokorzystne
Warunki hydrogelogiczne:
korzystne
korzystne
korzystne
korzystne
średniokorzystne
Warunki geologiczne:
korzystne
korzystne
średniokorzystne
korzystne
średniokorzystne
bardzo niekorzystne - grunty mpl.
Zagrożenia geologiczne:
korzystne
korzystne
korzystne
korzystne
Ocena warunków geologiczno-inżynierskich
ŚREDNIOKORZYSTNE
ŚREDNIOKORZYSTNE
ŚREDNIOKORZYSTNE
NIEKORZYSTNE
KILOMETRAŻ
7+000.00
7+500.00
8+000.00

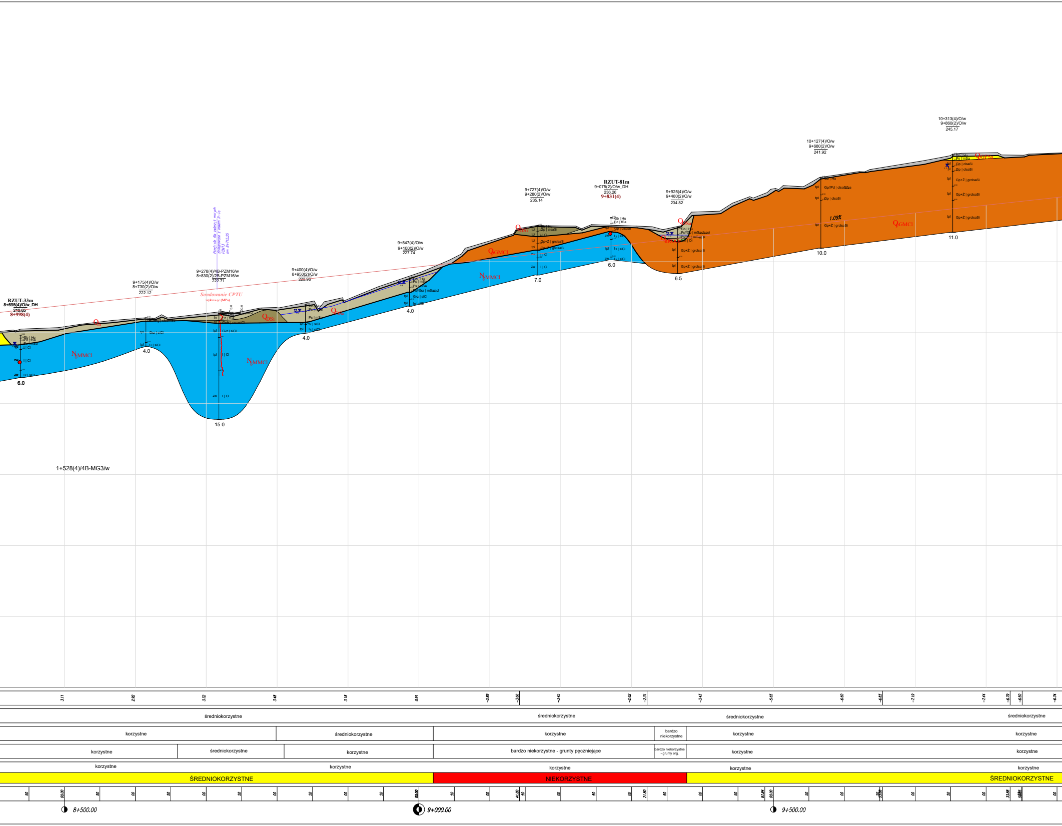
RZUT-33m
8+695(4)/O/w_DH
219.65
8+998(4)
9+175(4)/O/w
8+730(2)/O/w
222.12
9+278(4)/4B-PZM16/w
8+830(2)/2B-PZM16/w
222.71
Przejście dla zwierząt małych zintegrowane z rowem R-1a PZM13 km 8+715,25
Sondowanie CPTU
wykres qc (MPa)
9+400(4)/O/w
8+950(2)/O/w
223.96
9+547(4)/O/w
9+100(2)/O/w
227.74
9+727(4)/O/w
9+280(2)/O/w
235.14
RZUT-81m
9+075(2)/O/w_DH
236.26
9+831(4)
9+925(4)/O/w
9+480(2)/O/w
234.82
10+127(4)/O/w
9+680(2)/O/w
241.92
10+313(4)/O/w
9+860(2)/O/w
245.17
Qh
QDSi
QDSa
QGMCl
QnROOr
QGFSa
NgMMCl
Gb | Hu
Pd | fSa
Ps | mSa
I | Cl
Iπ | siCl
Gπ | siCl
Gp | clsaSi
Gp+Ż | grclsaSi
Ps/Gp | mSaclsasi
Nm | Or
Gp/Pd | clsaSifsa
Ps/Gπ | mSasicl
tpl
pl
zw
In
1.09%
6.0
4.0
15.0
4.0
4.0
7.0
6.0
6.5
10.0
11.0
1+528(4)/4B-MG3/w
3.11
2.92
3.32
3.48
3.18
0.91
-2.89
-3.66
-3.45
-2.62
-2.31
-3.43
-5.65
-6.60
-6.83
-7.19
-7.44
-6.79
-6.50
-6.34
średniokorzystne
średniokorzystne
średniokorzystne
średniokorzystne
korzystne
średniokorzystne
korzystne
bardzo niekorzystne
korzystne
korzystne
korzystne
średniokorzystne
korzystne
bardzo niekorzystne - grunty pęczniejące
bardzo niekorzystne - grunty org.
korzystne
korzystne
korzystne
korzystne
korzystne
korzystne
korzystne
ŚREDNIOKORZYSTNE
NIEKORZYSTNE
ŚREDNIOKORZYSTNE
8+500.00
9+000.00
9+500.00

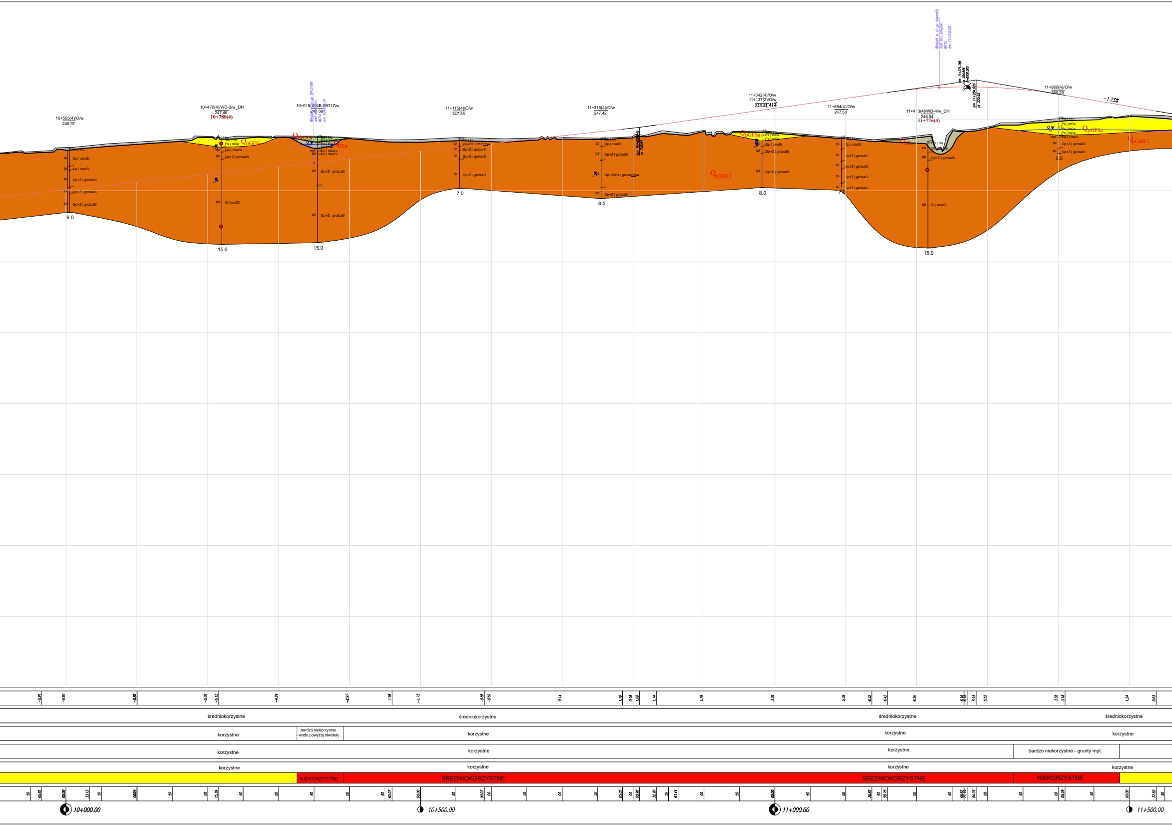
10+565(4)/O/w
245.97
10+470(4)/WD-3/w_DH
247.46
10+780(4)
10+915(4)/4B-WG17/w
247.68
11+115(4)/O/w
247.36
11+315(4)/O/w
247.42
11+542(4)/O/w
11+137(2)/O/w
248.43
1.41%
11+654(4)/O/w
247.58
11+413(4)/WD-4/w_DH
246.94
11+776(4)
11+960(4)/O/w
250.29
-1.73%
Wiadukt w ciągu obwodnic nad linią kolejową WG15 km 11+232.00
km 11+271.189
rz 254.646
R=8000.00
km 11+284.026
rz 255.62
km 10+808.76
rz 248.94
QpGFSa
QhROOr
QhDSa
QpGMCl
Gb | Hu
Ps | mSa
Gp | clsaSi
Gp+Ż | grclsaSi
G | sasiCl
Gp/Pd | clsaSifsa
Gp+Ż/Pd | grclsaSifsa
tpl
mpl
zw
9.0
15.0
15.0
7.0
8.5
8.0
7.0
15.0
5.0
-5.91
-5.90
-4.82
-5.36
-5.15
-4.24
-2.97
-1.98
-1.73
-0.88
-0.66
0.14
1.18
0.98
1.08
1.14
1.79
3.39
5.39
6.32
6.42
6.56
6.16
5.93
5.55
3.38
3.18
1.24
0.63
średniokorzystne
średniokorzystne
średniokorzystne
średniokorzystne
korzystne
bardzo niekorzystne woda powyżej niwelety
korzystne
korzystne
korzystne
korzystne
korzystne
korzystne
bardzo niekorzystne - grunty mpl.
korzystne
korzystne
korzystne
korzystne
NIEKORZYSTNE
ŚREDNIOKORZYSTNE
ŚREDNIOKORZYSTNE
NIEKORZYSTNE
10+000.00
10+500.00
11+000.00
11+500.00

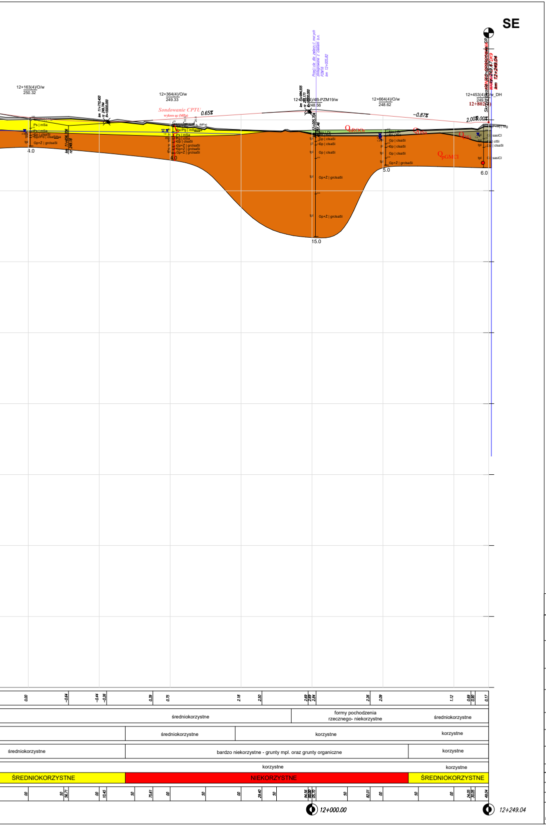
SE
12+163(4)/O/w
250.32
km 11+710.450
rz 249.744
R=10000.000
km 11+656.106
rz 249.18
12+364(4)/O/w
249.33
Sondowanie CPTU
wykres qc (MPa)
0.65%
Ps | mSa
Gp | clsaSi
Gp//Pd | clsaSifsa
Gp+Ż | grclsaSi
Ps//Pg | mSaclSa
Pg | clSa
4.0
Przejście dla zwierząt małych zintegrowane z ciekiem b.n. PZM16 km 12+005.82
km 11+994.555
rz 251.171
12+005.704
251.46
12+[illegible](4)/4B-PZM19/w
248.56
12+664(4)/O/w
248.62
-0.87%
12+453(4)/O/w_DH
249.2[illegible]
12+802(4)
2.00%
0.00%
km 12+249.04
DK9
Nm | Or
Gp | clsaSi
Gp+Ż | grclsaSi
Cl | sasiCl
Cl | clSi
Gp | clsaSi
QhROOr
QhDSa
QhDSi
QpGMCl
15.0
5.0
6.0
0.00
-0.64
-0.44
-0.26
0.39
0.75
2.18
2.50
2.69
2.69
2.84
2.26
2.09
1.12
0.69
0.90
0.17
średniokorzystne
formy pochodzenia rzecznego- niekorzystne
średniokorzystne
średniokorzystne
korzystne
korzystne
średniokorzystne
bardzo niekorzystne - grunty mpl. oraz grunty organiczne
korzystne
korzystne
korzystne
ŚREDNIOKORZYSTNE
NIEKORZYSTNE
ŚREDNIOKORZYSTNE
00
50
56.71
00
10.45
50
75.61
00
50
00
29.40
50
94.56
00.00
05.70
50
82.01
00
50
00
24.05
30.05
49.04
12+000.00
12+249.04

OBJAŚNIENIA:

2.08% - projektowana niweleta

km 0+620.773 rz 207.154 R=18000.000 - profile i etykiety projektowanych elementów konstrukcyjnych drogi

- powierzchnia terenu

7+527(4)/O/w..... 6+431(2)/2B-PZDd11/w..... 1+528(4)/4B-MG3/w......	- wykonane otwory badawcze
6+200(2)/O/w+(3)+(4)_DH 1+285(4)/MS-1/w_DH	- archiwalne otwory hydrogeologiczne
7+527(4)/O/w	- numer otworu
233.50	- rzędna terenu (m n.p.m.)
4.3	- zwierciadło swobodne (m p.p.t.)
5.9 4.4	- zwierciadło naporowe (m p.p.t.)
3.8	- sączenie (m p.p.t.)
Pd, Gp, Π	- symbol gruntu
fSa,mSa	- symbol gruntu zgodny z ISO
—	- granice stratygraficzne
—	- granice genetyczne
●	- miejsce pobrania próbki kategorii B
A Mg Q pRTSa Q pGMCl N gMMCl	- symbol warstwy litologicznej

Wykresy sondowań

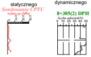

Inwestor:	Skarb Państwa - Generalny Dyrektor Dróg Krajowych i Autostrad - działający przez Generalną Dyrekcję Dróg Krajowych i Autostrad Oddział w Rzeszowie 35-959 Rzeszów ul. Legionów 20
Wykonawca:	ul. Jana Niemierskiego 4 35-307 Rzeszów
Podwykonawca:	GEO-MI Pracowania Geologiczna Michał Małuszyński ul. Grażyny 16, lok. 14, 93-309 Łódź
Zadanie inwestycyjne:	Budowa obwodnicy Kolbuszowej w ciągu drogi krajowej DK9
Obiekt budowlany:	Droga krajowa nr 9 - obwodnica Kolbuszowej
Nazwa części opracowania:	STUDIUM GEOLOGICZNO-INŻYNIERSKIE
Tytuł rysunku:	**Syntetyczny przekrój geologiczny** **Wariant nr 4.1A - km 6+950-12+249**

Funkcja:	Imię i Nazwisko:	Branża/nr uprawnień:	Podpis:
Geolog:	mgr Tomasz Piwowarski	geologia VII-1521	
Geolog:	mgr inż. Anna Rzempowska	geologia VII-1822	A. Rzempowska

Nr umowy:	Skala:	Data:	Stadium:	Branża:	Nr rysunku:
2413.21.2020 z dn. 12.04.2021	1:2000/200	MARZEC 2023	STEŚ-R Etap I	G	10.W4_1A.2